

V-18 斜め写真による防災管理(函館本線小樽・札幌間の急傾斜地について)

日本国有鉄道 札幌鉄道管理局 正会員 小倉迪郎
及川 岩

1. まながき

函館本線小樽・札幌間は、明治13年に建設され、現在、複線・電化され、1日当り列車本数2120本、旅客数で2万人を超える大動脈となっている。

一昨年4月、大規模な斜面崩壊が、この区间で2件連続して発生し、大きな輸送障害を引きおこしたため、安全をモットーヒレハ輸送機関ヒレハ、当該区间の運転保安の向上をはかるうえで、定量的により深度化することが必要となった。

2. 調査目的

今回の調査は、小樽・札幌間のうち、特に危険に思われる小樽築港駅・函館駅間の約11km、面積にして約50haを対象として、斜め写真判読と現地踏査等を主体に実態を把握し、今後の防災計画立案の基礎資料を得ることとした。

3. 地形地質概要

本調査区間は、函館本線小樽・札幌間の中間に位置し、山が海岸まで迫り、海蝕崖の急傾斜地となつて大小々地すべり地形、小規模地すべり地帯等が散在してゐる。この斜面上部には、一般国道5号線と札樽高速道路とが並行に通り、宅地化等も相まって環境変化もすすんでいる。

このよろなむと、本区間土地形的に分類すると

(1) 傾斜のややかな丘陵地	17%
(2) 平坦丘陵地	36%
(3) 起伏の比較的大きな山地	44%
(4) 沖積低地地域	0%

4つ地域に分される。

(1)は、小樽築港から朝里川にかけての区間で、海岸沿いに比高30~60mの海蝕崖が飛躍している。(2)は、朝里川、猿啄川等の形成された段丘地域であり、段丘上に3~4mの堆積物が分布している。(3)は、大まかに山地帯、海岱帯、河谷帯の3つに区分され、一部ではオーバーハングがみられる。この箇所を見かけられ、斜面上には地すべり地形がみられる。(4)は、各小河川の形成する沖積低地地域であるが、河川下流で狭小に分布するのみである。

また、地質構成をみると、新第三紀及第四紀からなる石英粗面岩、安山岩質集塊岩、冲積層等が主に分布している。

4. 調査内容

調査は、斜め写真判読と現地踏査を主体としてすすめ、写真判読では、巨視的に災害発生要因を把握し、災害地形地質図の予察図を作成し、これをもとに現地踏査を実施し、写真判読で得た災害発生要因について、それが何を把握し、その他の要因が如何構成地質、地質構造、地下水状態、構造物の変状状態について、さらに調査を実施した。この結果をもとに、降雨、融雪水による災害発生形態、規模の予測と危険度の判定を行ない、危険箇所の抽出上対策工について具体的に検討した。

5. 資料の収集、整理

基図(現況図 1/2500、地形図 1/5000 1/30000)、線路平面図(1/2500)、空中写真(斜め写真、鉛直写真)、や付近の地質調査報告書等既存資料の収集、整理

(2) 空中写真判読

調査に向ひ、勘定範囲を設定し、過去の災害の地形、地質的特徴をもとに判読を行ない、災害地形地図(予察図)を作成する。

なお、判読は、現地踏査の前後に行なひ、予察図の精度の向上上へが一大。

(3) 現地踏査

写真判読で得た災害要因等を現地で確認する。

(4) 災害地形地図及斜面調査表の作成

現地踏査結果に基づき、予察図を補足、修正すととともに、斜面、浸流状況、植生等につき斜面調査表を作成する。

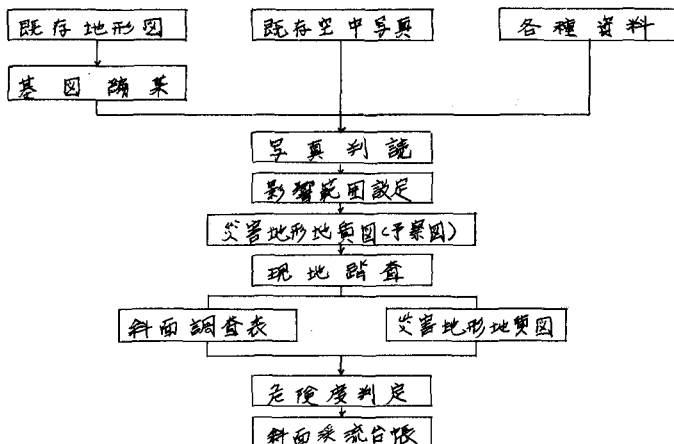
(5) 灾害危険度判定

各斜面、浸流ごとに降雨、融雪水等の外力に対して予想される災害形態別に、その発生機構、規模の推定を行ない、それに関連する既存防護工の防災上の機能を評価して、総合的に危険性を判定する。

(6) 斜面災害台帳の作成

(1)～(5)による判定結果をもとに、斜面写真、判読図、代表断面、災害に対する所見、必要とする防護工の構造等につき具体的に記入、作成する。

以上が、今日の調査の手順で、フロー図によると次のようになる。



5. 危険度判定基準

斜面、浸流水問わず、災害の基本的、本質的な発生要因は、地域を構成する地質及び地質構造にあることはいうまでもない。これらは、いってもいえば、内的原因としてヒシセラレカガ、外的原因としての「気象」がそれに関連して災害を誘発させていく。

以上のように考えを念頭に、本調査においては、災害発生形態を、地すべり、崩壊、落石、土石流、土砂・水流出に区分し、判定を行なった。

具体的には、地形、地質、植生条件等に降雨、融雪等の要因を考慮した場合の危険性を、光に述べた、地すべり、崩壊、落石、土石流、土砂・水流出のそれらの災害形態別に、若一ノク判定項目によって、個々にその安定性を、△（弱さやす）、△（比較的動きやす）、○（現状では安定）のランクによって判定した。（表-2）

次に、それぞれの災害形態別に、予測される災害の発生機構、規模を想定し、それらに既存の防護工の構造、

構造上評価を加味して、その災害の発生に伴う危険度を、A（対策を要す）、B（検査を要す）、C（現状では安定）の3ランクに区分した。

その他、今回の判定では、調査で固約11kmをまず3ブロックに分割し、先の危険度ランクをもとに、ブロック全体の総合評価を行なった。

表-1 安定性判定項目

項目		
地盤	斜面	傾斜
すべり	面	面
規則	規則	規則
地表	面	現象
水理	条件	条件
崩壊	斜面	傾斜
供給水	水	蒸気
固結	結	現象
斜面	面	傾斜
植生	植生	植生
供給	位	位置
落石	風化	変形
碎裂	裂	変形
長距離	流水	地下水
植生	生	生
供給	位	位置
土石流	流域	面積
流域	堆積物	植物
植生	条件	条件
路床	付近	傾斜
溪床	位置	位置
土砂・水流	集水	面積
	ガリ	状況
	不安定	土石状況
	植生	条件
	供給	位

表-2 安定性評価基準

災害発生形態	発生数	安定性
地すべり	11以上 8~10 5~7 13以上	a b c a
崩壊	10~12 6~9	b c
落石	13以上 10~12 6~9	a b c
土石流	13以上 10~12 6~9	a b c
土砂・水流出	13以上 10~12 6~9	a b c

6. 判定結果

判定基準に基づいて判定してい。た結果、総合評価が①ランクのもの36ブロック、②ランクで17ブロックと全体の約80%のブロックにつれて、今後、何らかの対策が必要となっている。（表-3）

表-3 総合評価

ランク	ブロック数
①	36
②	17
③	11
計	64

また、予測災害発生形態別に、その危険度をみると、落石、崩壊によるものが60%を占め、地すべり、土石流が危険度に影響する箇所は比較的少ない。これは、堆積物のみられる荒廃した箇所が少ないためと考えられる。（表-4）

次に、予測災害発生形態別に、個々にみると概略次のとおりとなる。

表-4 予測災害発生形態と危険度

災害形態 危険度	地すべり			崩壊			落石			土石流			土砂・水流出			合計
	a	b	c	a	b	c	a	b	c	a	b	c	a	b	c	
A	3	4	0	32	2	0	21	12	0	2	2	0	13	9	0	100
B	1	2	0	14	3	0	12	5	0	0	0	0	5	3	0	45
C	0	0	0	4	3	0	1	5	0	0	0	0	2	3	0	18
合計	4	6	0	50	8	0	34	22	0	2	2	0	20	15	0	163
				10		58		56		4		35				

(4) 地すべり

地すべりの形態には、斜面壁に沿ったセリ、岩盤の破碎部に沿ってのもの、あるいは、粘土層が界面を離れてのものがあり、今後、引き続き監視するにともなく、詳細な調査を必要とする。

(2) 崩壊

急斜面が連続するところから、調査区間内で最も発生する危険性の高いものであるが、発生規模としては、比較的小さいものが多い。

(3) 塌石

落石の大きさは、大きいもので、概ね1m程度のもののが予測され、落石型、転石型とも、発生予測箇所は多い。

(4) 土石流

斜面成、標高に近接してのため、崩壊土砂は、土石流化しないで流出すること、海岸堆積物の分布が小規模であるため、箇所は少ない。

(5) 土砂・水漏出

段丘崖の流下区間では堤防成来整備の箇所が多く、かつ、段丘上の人工改変（農地の宅地化）が著しく箇所もみられ、危険度の高い災害形態の一つとなる。

7. あらがき

以上、今日の調査は、斜面写真等の既存資料を活用して、定量的に約1kmの区間の実態把握を行なったが、今後は、より深度化した資料を得るために、日常の検査業務の結果を反映するとして、防災強度の向上に努めたい。